



### ЛЕКЦИЯ 6

## Тема Лекции: Гетеропереходы

к.ф.-м.н., PhD, ассоциированный профессор Тулегенова Аида Тулегенкызы

#### Цель лекции:

Рассмотреть физические основы гетеропереходов —контактов между различными полупроводниковыми материалами, изучить их энергетические зонные диаграммы, механизмы переноса носителей заряда и основные области применения в современной электронике и оптоэлектронике

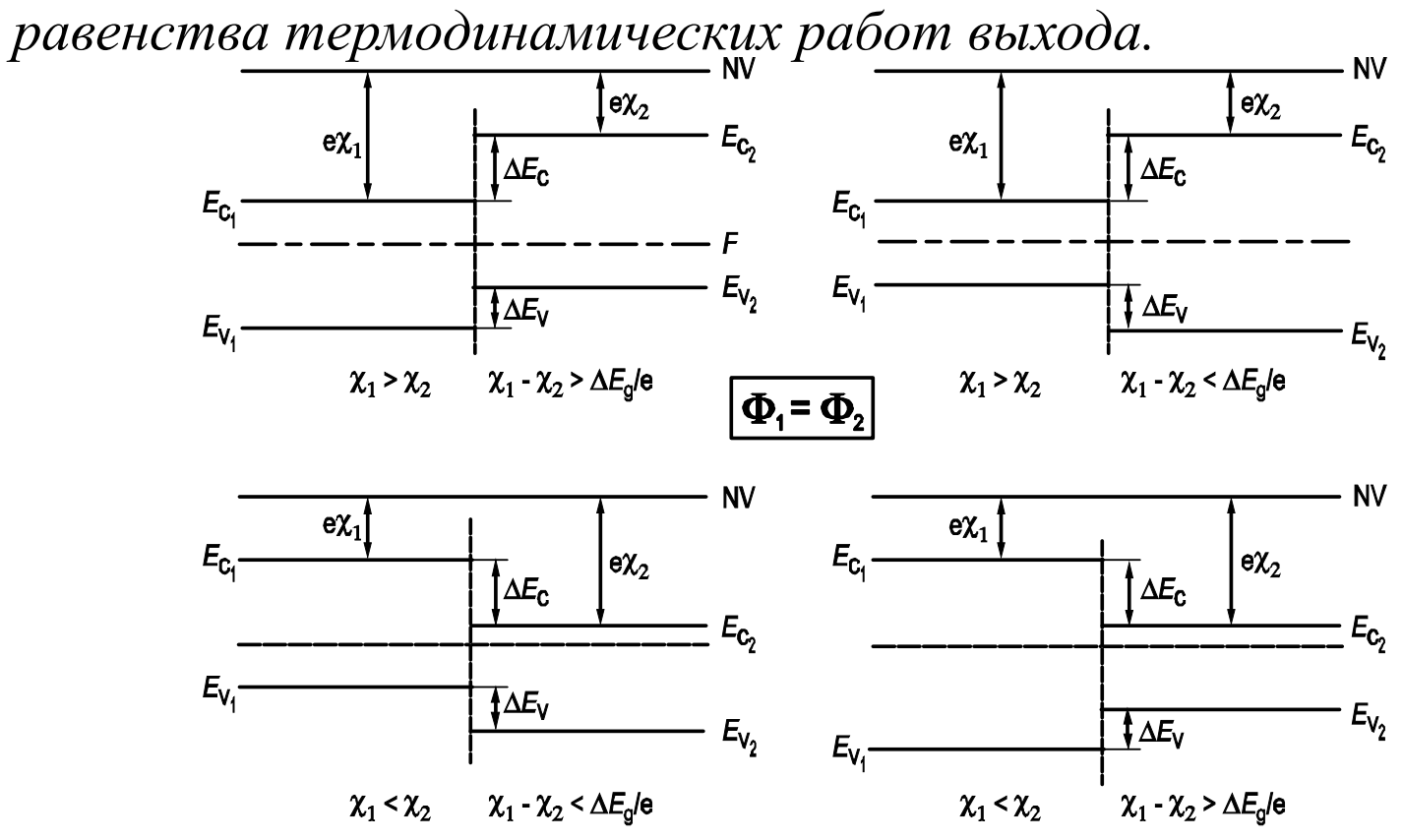
#### Основные вопросы:

- 1. Понятие и физическая сущность гетероперехода.
- 2. Классификация гетеропереходов: изотипные и анизотипные, прямые и косвенные типы.
- 3. Энергетические соотношения на границе раздела полупроводников, разрывы зон
- 4. Зонные диаграммы гетеропереходов: типы выравнивания (I, II, III).
- 5. Формирование встроенного потенциала и выравнивание уровней Ферми.
- 6. Перенос носителей заряда через гетерограницу: диффузия, дрейф, туннельные процессы.
- 7. Влияние дефектов и поверхностных состояний на свойства гетероперехода.

**Гетеропереходом** называют контакт двух полупроводников различного вида и разного типа проводимости, например, **pGe** – **nGaAs**. Отличие гетеропереходов от обычного p-n перехода заключается в том, что в обычных p-n переходах используется один и тот же вид полупроводника, например, pSi – nSi. Поскольку в гетеропереходах используются разные материалы, необходимо, чтобы у этих материалов с высокой точностью совпадали два параметра: температурный коэффициент расширения (ТКР) и постоянная решетки

Количество материалов для гетеропереходов ограничено. Наиболее распространенными из них являются германий Ge, арсенид галлия GaAs, фосфид индия InP, четырехкомпонентный раствор InGaAsP.

B зависимости от ширины запрещенной зоны  $E_g$ , электронного сродства  $\chi$  и типа легирования узкозонной и широкозонной областей гетероперехода возможны различные комбинации  $E_g$  и  $\chi$ . Показаны эти комбинации при условии



С учетом этого в процессе построения зонной диаграммы гетероперехода при сращивании дна **зоны проводимости**  $E_{\rm C}$  этих полупроводников на металлургической границе перехода на зонной диаграмме образуется "пичок". Величина "пичка"  $\Delta E_{\rm C}$  равна:

$$\Delta E_{\rm C} = \chi_{\rm Ge} - \chi_{\rm GaAs}$$

При сшивании вершины валентной **зоны**  $E_{\rm V}$  в области металлургического перехода получается **разрыв**  $\Delta E_{\rm V}$ . Величина "paspывa" равна:

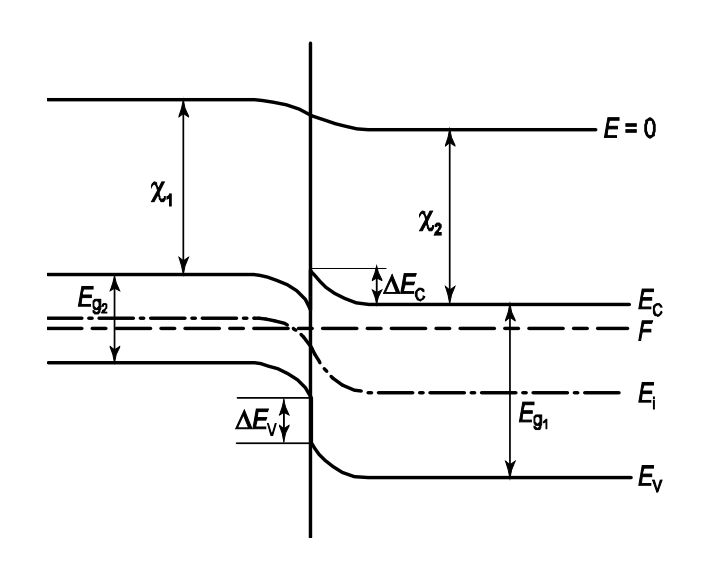
$$\Delta E_{\rm V} = -\chi_{\rm Ge} - E_{\rm g Ge} + \chi_{\rm GaAs} + E_{\rm g GaAs} = -\Delta E_{\rm C} + (E_{\rm g GaAs} - E_{\rm g Ge})$$

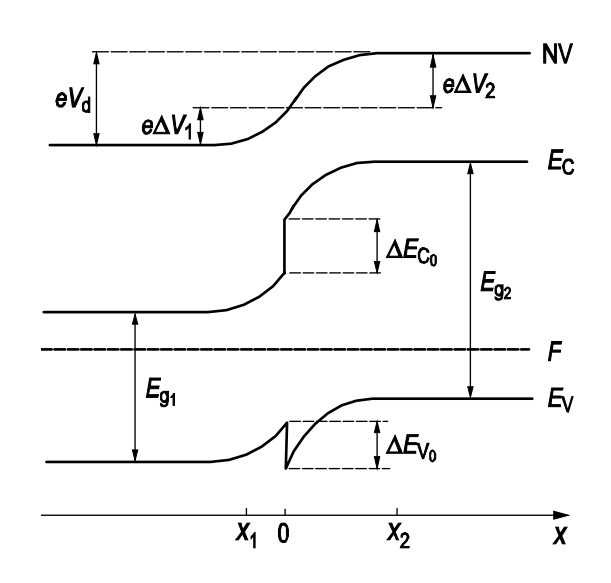
Из приведенных соотношений следует, что суммарная величина "nuчка"  $\Delta E_{C}$  и "pазрыва"  $\Delta E_{V}$  составляет

$$\Delta E_{\rm C} + \Delta E_{\rm V} = (E_{\rm g GaAs} - E_{\rm g Ge})$$

"Пичок" наблюдается в области металлургического перехода для энергии вершины валентной зоны  $E_{V}$ . Величина "пичка"  $\Delta E_{V}$  равна

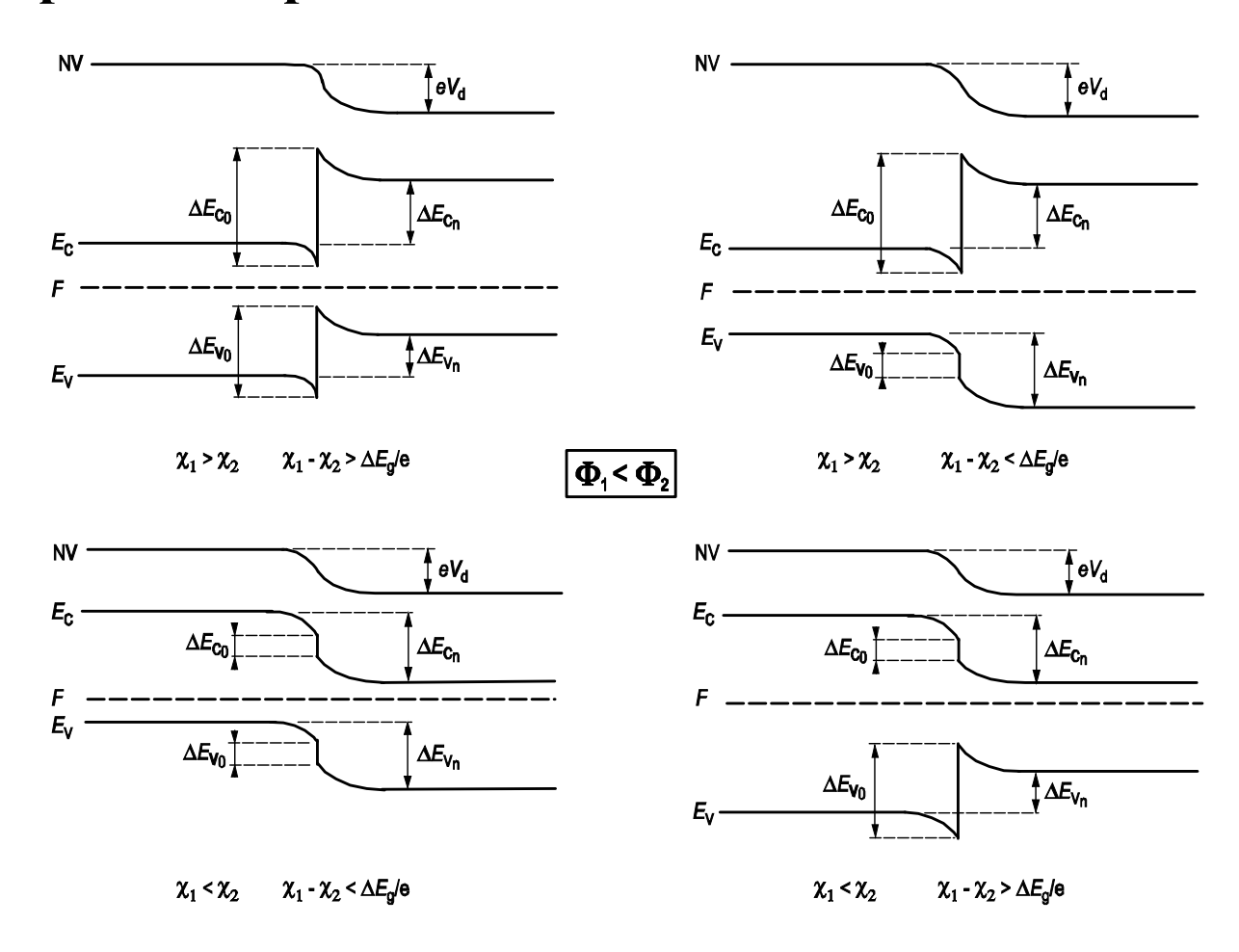
$$\Delta E_{\rm V} = -\chi_{\rm Ge} - E_{\rm g Ge} + \chi_{\rm GaAs} + E_{\rm g GaAs} = -\Delta E_{\rm C} + (E_{\rm g GaAs} - E_{\rm g Ge})$$





Аналогичным образом можно построить зонные диаграммы для гетеропереходов при любых комбинациях уровней легирования, ширины 6 запрещенной зоны и электронного сродства

Зонные диаграммы для различных типов гетеропереходов при условии, что термодинамическая работа выхода первого слоя меньше, чем второго ( $\Phi_1 < \Phi_2$ ), и при различных комбинациях для электронного сродства



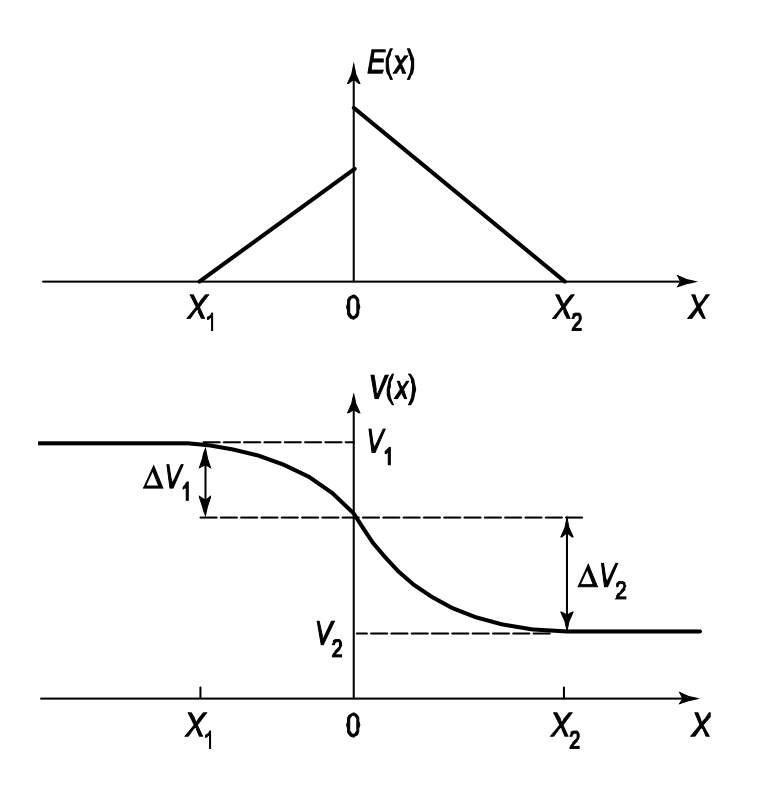
Решение уравнения Пуассона в этом случае дает следующие выражения для электрического поля E, потенциала  $\psi$ и ширины обедненной области  $W_{1n}$  и  $W_{\scriptscriptstyle 2n}$  при наличии внешнего напряжения:

Образец текста 
$$= \frac{qN_{\rm D}W_{\rm ln}}{\mathcal{E}_{\rm l}\mathcal{E}_{\rm 0}}; E_{\rm 2000pa3el} = \frac{qN_{\rm A}W_{\rm 2p}}{\mathcal{E}_{\rm 2}\mathcal{E}_{\rm 0}}$$

$$V_{1n} = \frac{qN_{\rm D}W_{1n}^2}{2\varepsilon_1\varepsilon_0}; \quad V_{2p} = \frac{qN_{\rm A}W_{2p}^2}{2\varepsilon_2\varepsilon_0}$$

$$W_{\rm ln} = \sqrt{\frac{2\varepsilon_{\rm l}\varepsilon_{\rm 2}\varepsilon_{\rm 0}(\Delta\varphi_{\rm 0} - V)}{qN_{\rm D}^2\left(\frac{\varepsilon_{\rm l}}{N_{\rm A}} + \frac{\varepsilon_{\rm 2}}{N_{\rm D}}\right)}}; \quad W_{\rm 2p} = \sqrt{\frac{2\varepsilon_{\rm l}\varepsilon_{\rm 2}\varepsilon_{\rm 0}(\Delta\varphi_{\rm 0} - V)}{qN_{\rm A}^2\left(\frac{\varepsilon_{\rm l}}{N_{\rm A}} + \frac{\varepsilon_{\rm 2}}{N_{\rm D}}\right)}}$$

# Распределения электрического поля и потенциала в области пространственного заряда гетероперехода



Распределение электрического поля и потенциала в области пространственного заряда **гетероперехода nGe – pGaAs** 

#### Вопросы для контроля изучаемого материала:

- 1. Что называется гетеропереходом и чем он отличается от р-п перехода в одном материале?
- 2. Как классифицируются гетеропереходы по типу выравнивания зон?
- 3. Объясните физический смысл разрывов зон
- 4. Что представляет собой зонная диаграмма гетероперехода типа I и типа II?
- 5. Как осуществляется перенос носителей через границу двух полупроводников?
- 6. Какие методы применяются для получения гетероструктур?
- 7. В каких приборах используются гетеропереходы и почему?
- 8. Какие современные материалы используются в наноразмерных гетероструктурах?

#### Список литературных источников:

- 9. Соколов В. И. Физика и технология полупроводников. М.: МИФИ, 2018.
- 10. Трифонов Е. Н. Электронные процессы в твёрдых телах. М.: Наука, 2015.
- 11. Sze, S. M., Ng, K. K. Physics of Semiconductor Devices. Wiley, 2007
- 12. Yu, P. Y., Cardona, M. Fundamentals of Semiconductors: Physics and Materials Properties. Springer, 2019.
- 13. Bhattacharya, P. Semiconductor Optoelectronic Devices. Prentice Hall, 1997.
- 14. Kittel, C. Introduction to Solid State Physics. Wiley, 2018.
- 15. Esaki, L. Long journey into tunneling. Rev. Mod. Phys., 46, 1974.